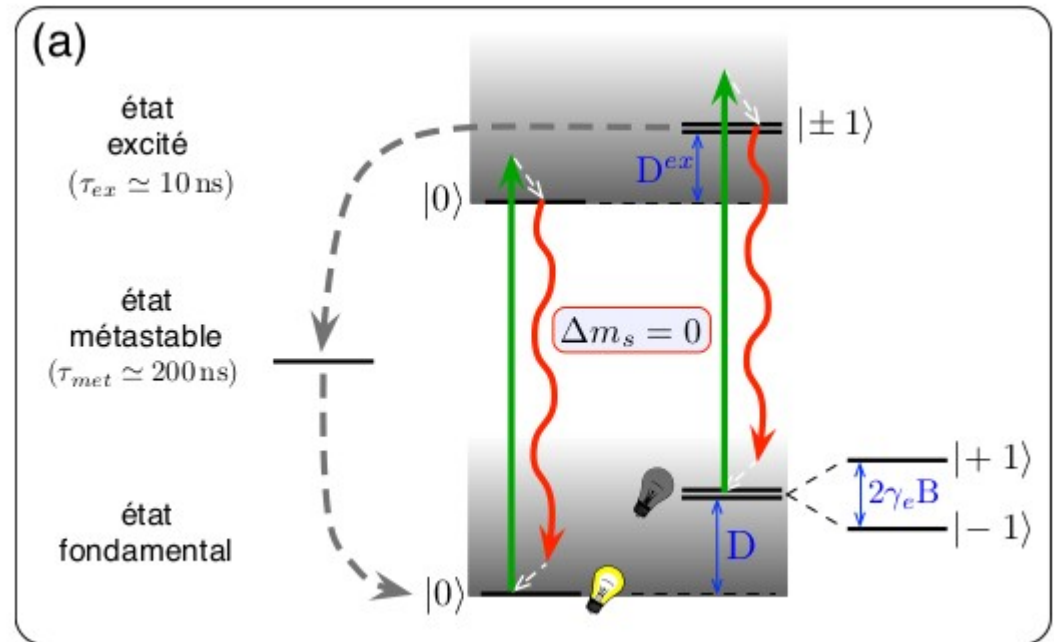
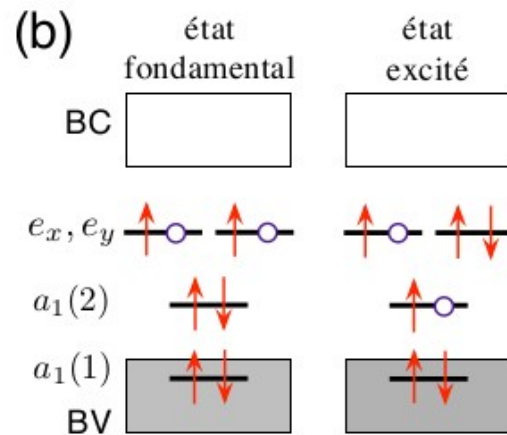
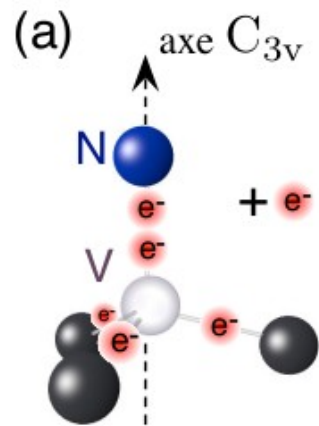


Reunion de groupe 18/12/19

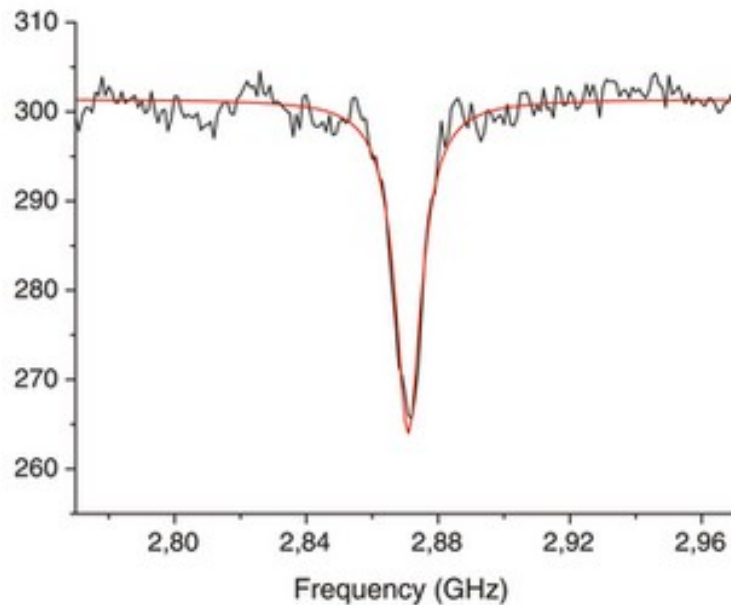
Presentation du centre NV-



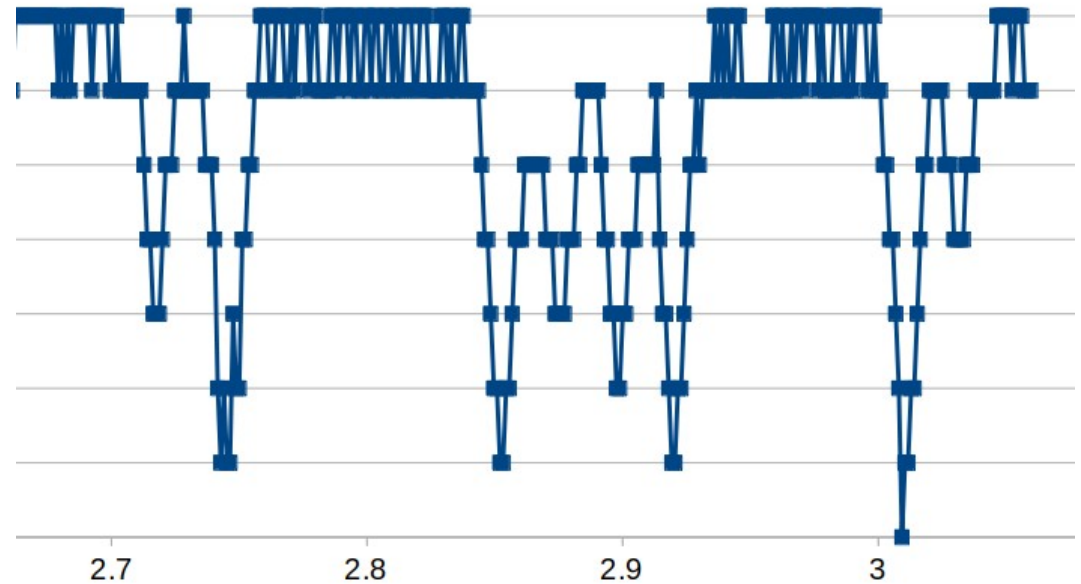
$$\hat{\mathcal{H}}_s = DS_z^2 + \gamma_e \mathbf{B} \cdot \hat{\mathbf{S}}$$

$$D = 2.87 \text{ GHz et } \gamma_e = 2.8 \text{ MHz/G}$$

Optically detected magnetic resonance



Sans champ magnetique



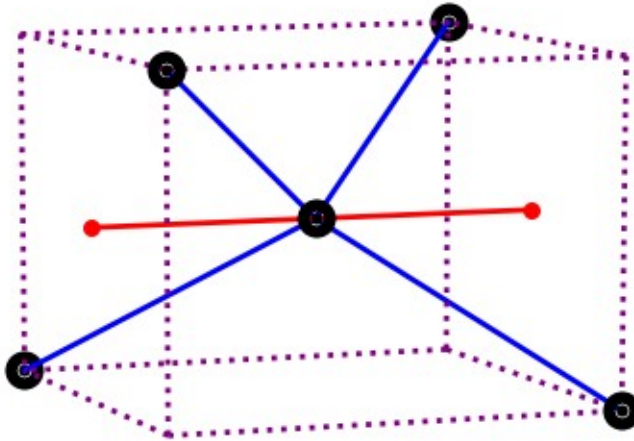
Avec champ magnetique

$$\hat{\mathcal{H}}_s = DS_z^2 + \gamma_e \mathbf{B} \cdot \hat{\mathbf{S}}$$

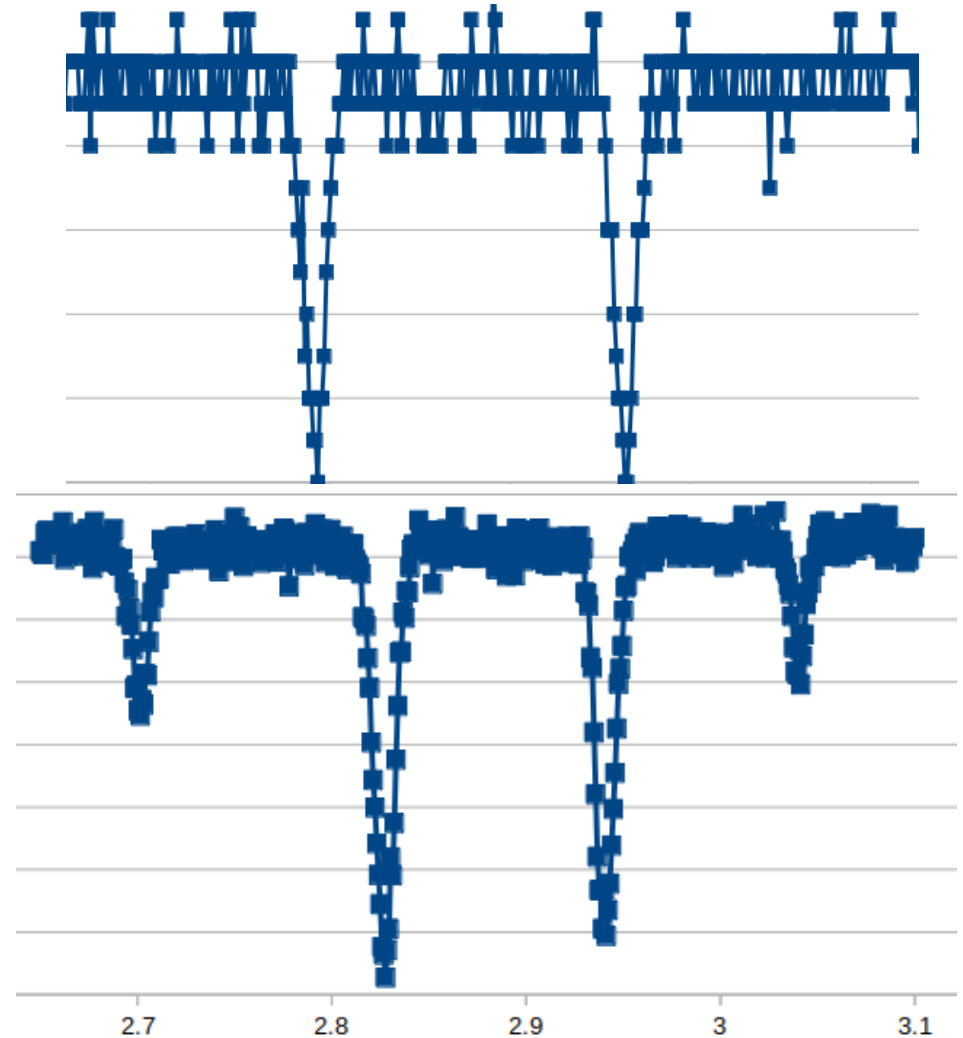
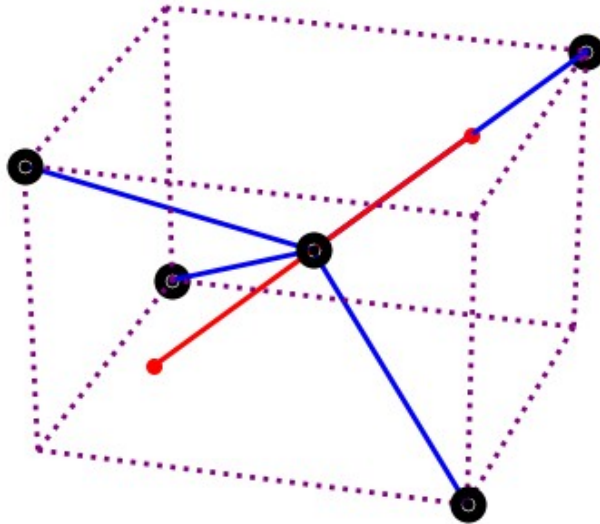
$$D = 2.87 \text{ GHz et } \gamma_e = 2.8 \text{ MHz/G}$$

Orientation et degenerescence

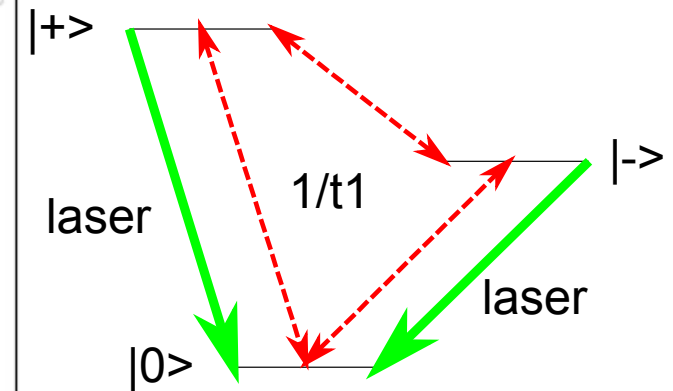
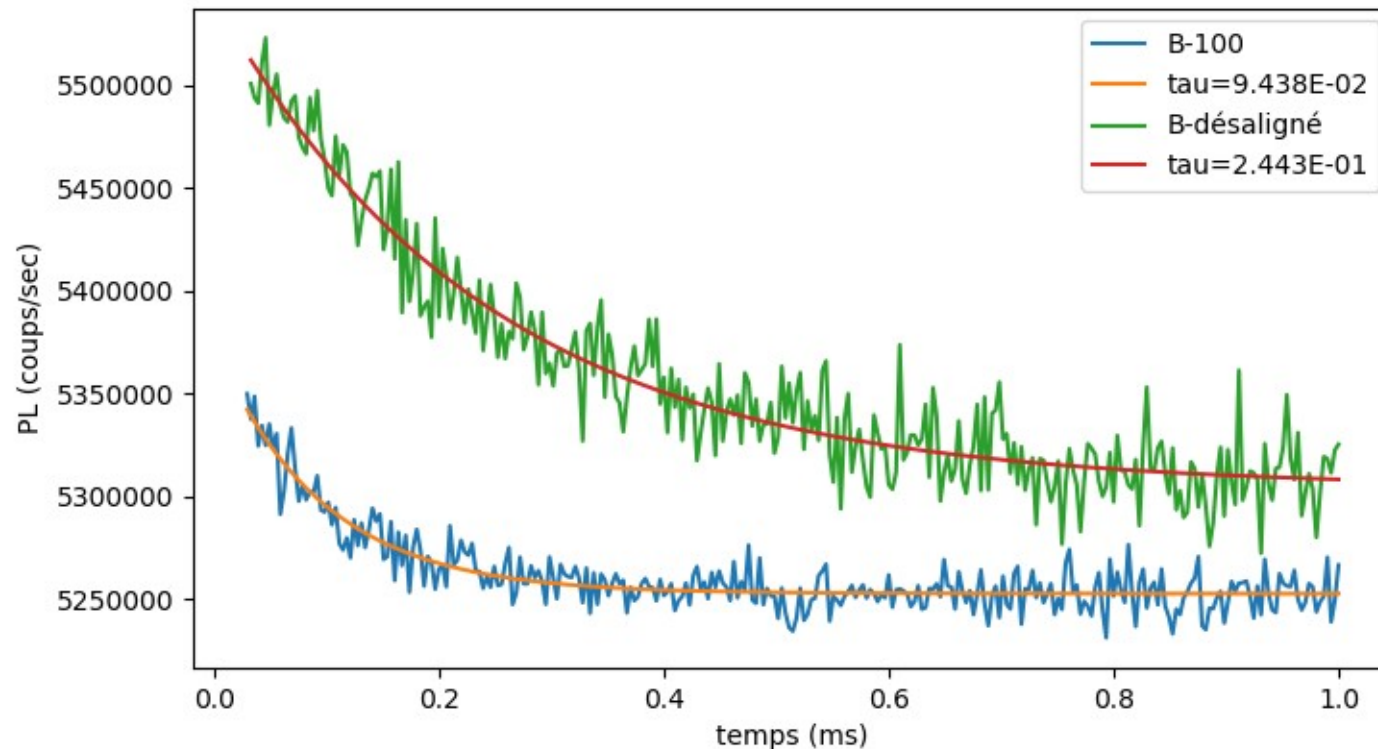
Direction
100



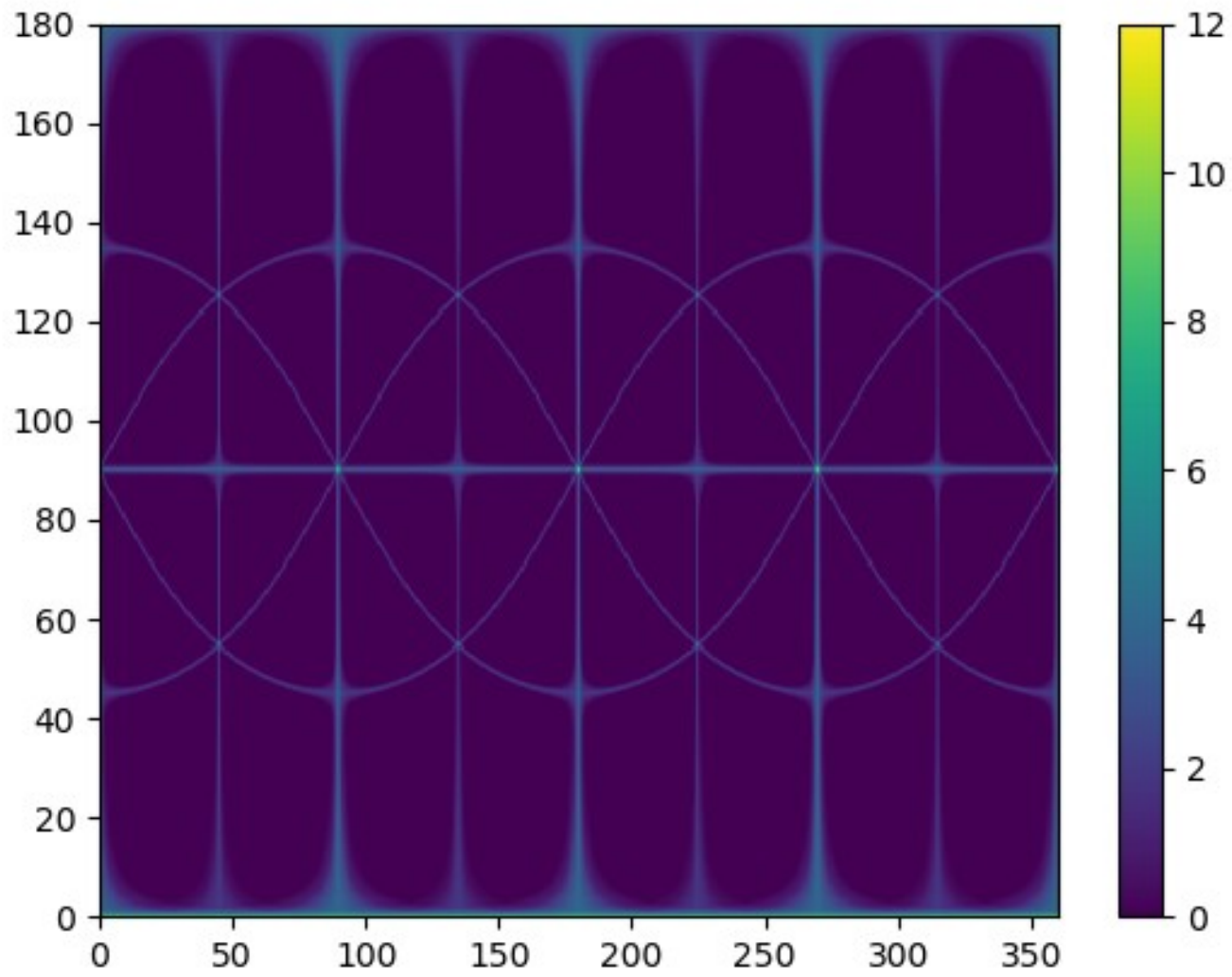
Direction
111



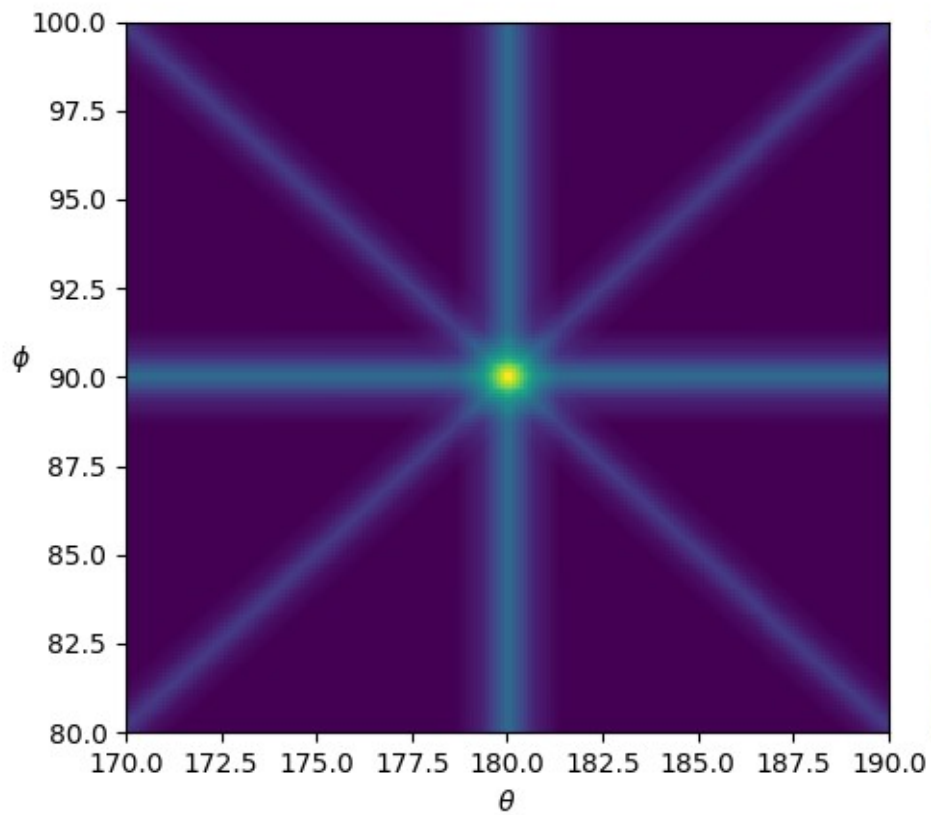
Interaction dipolaire magnetique, Modification du temps de vie de spin



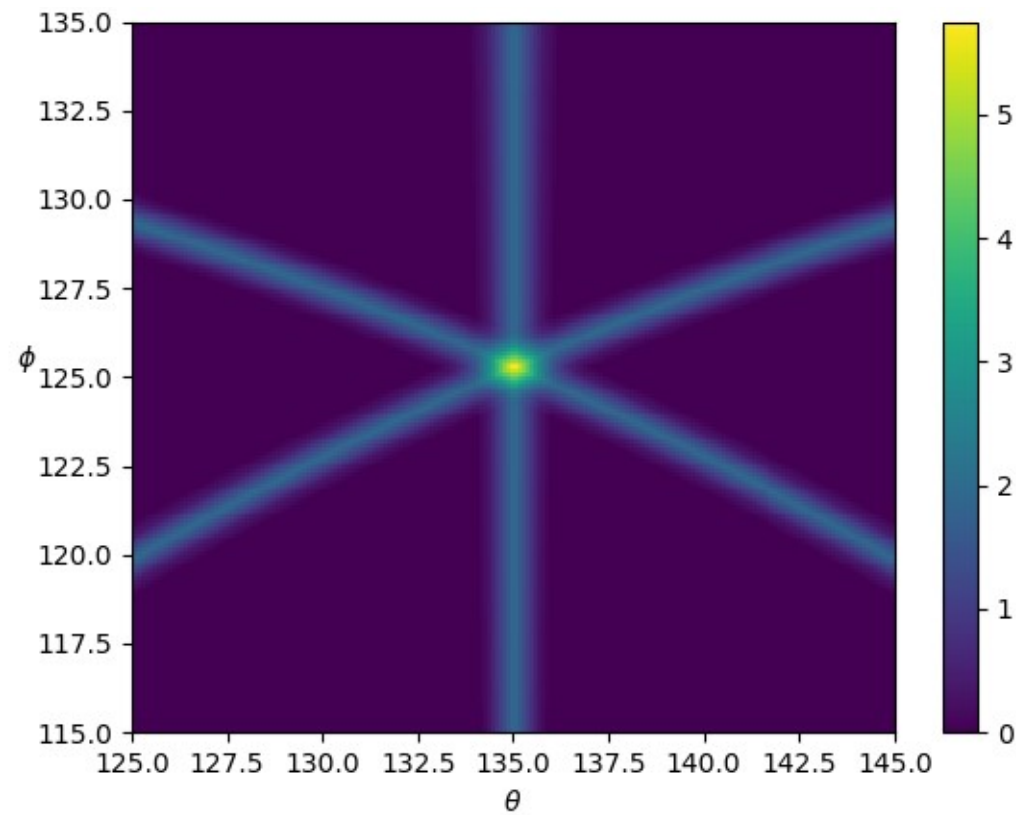
Carte angulaire de degenerescence



Carte de degenerescence - Zoom

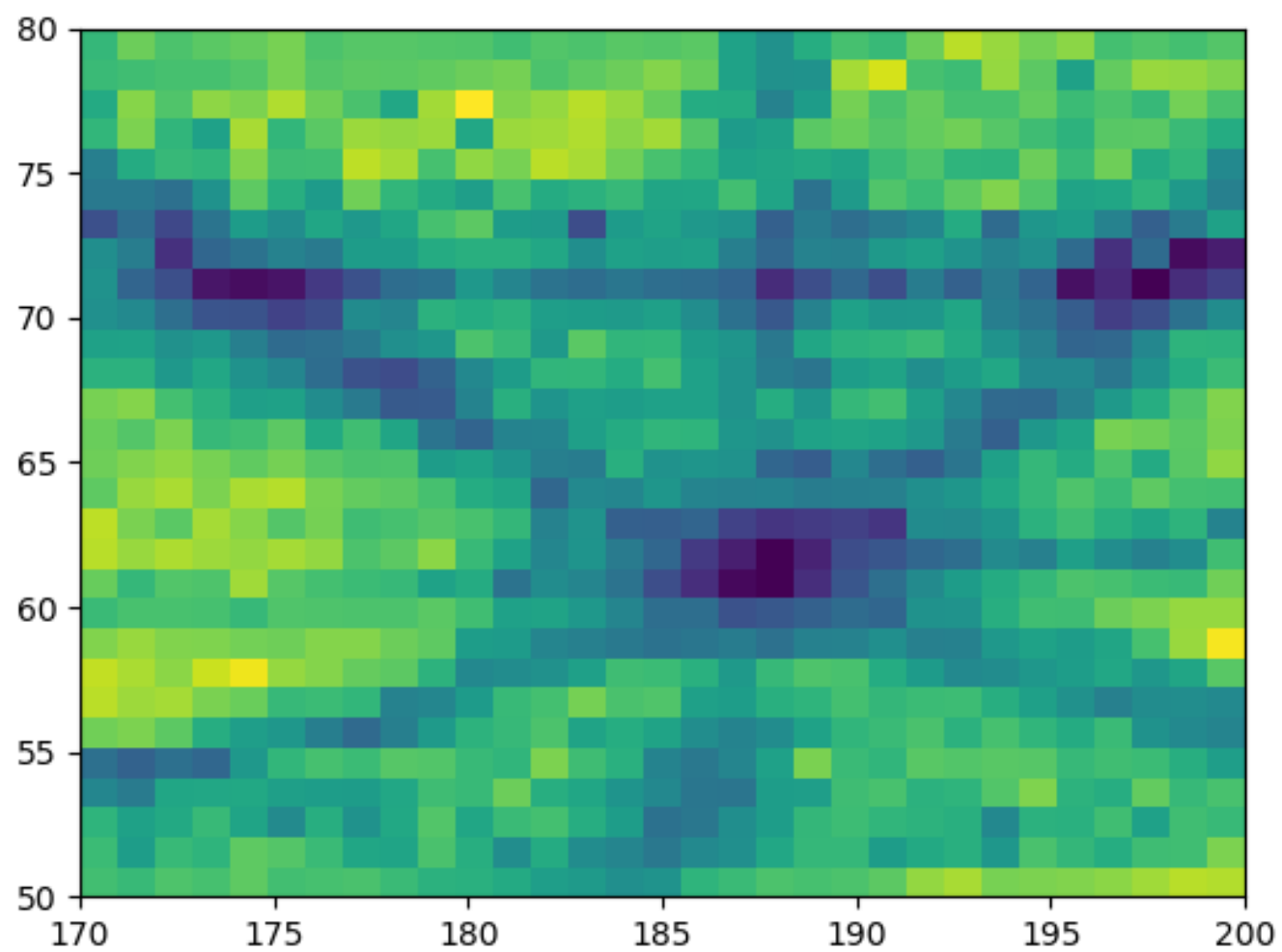


100

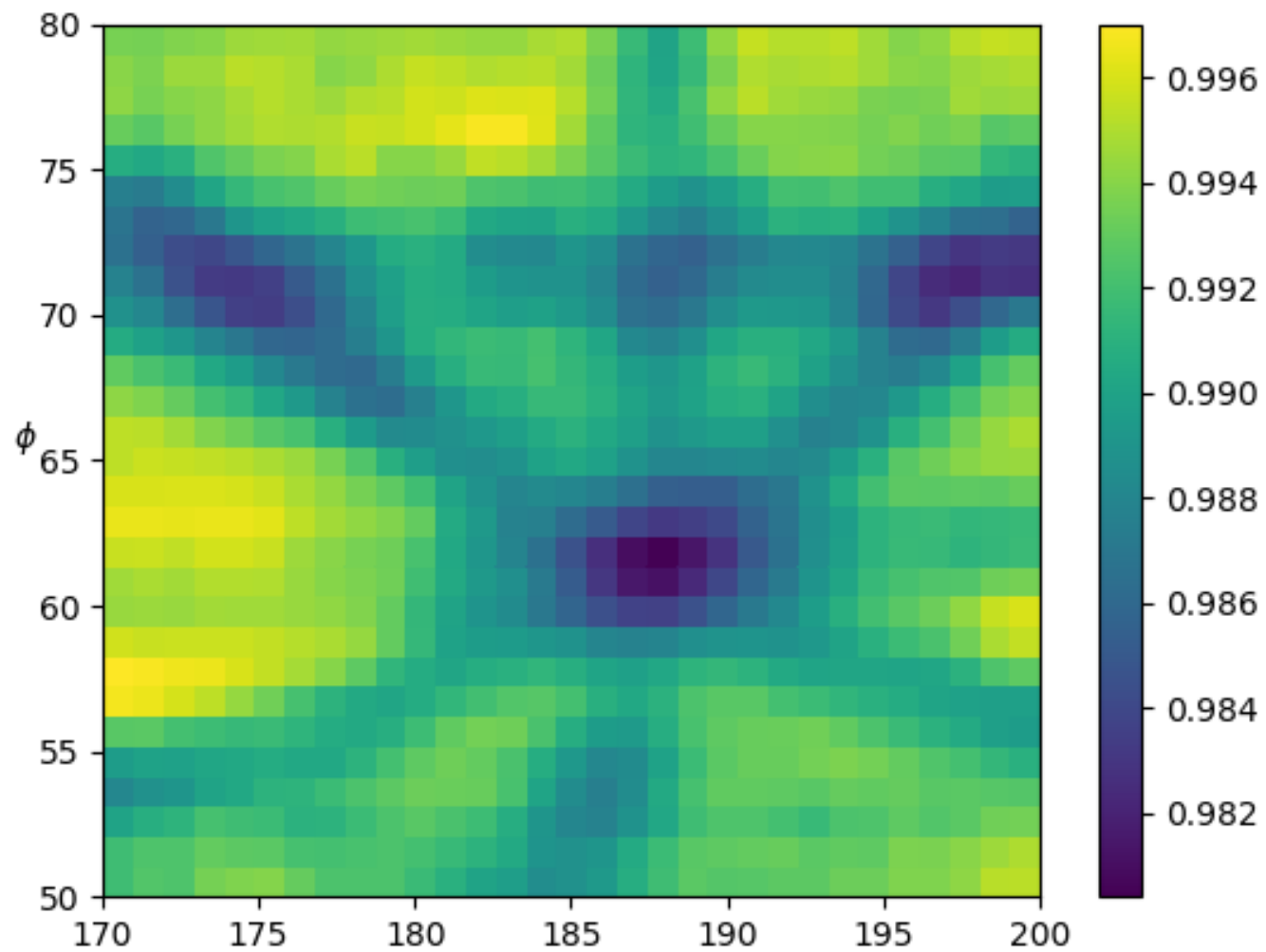


111

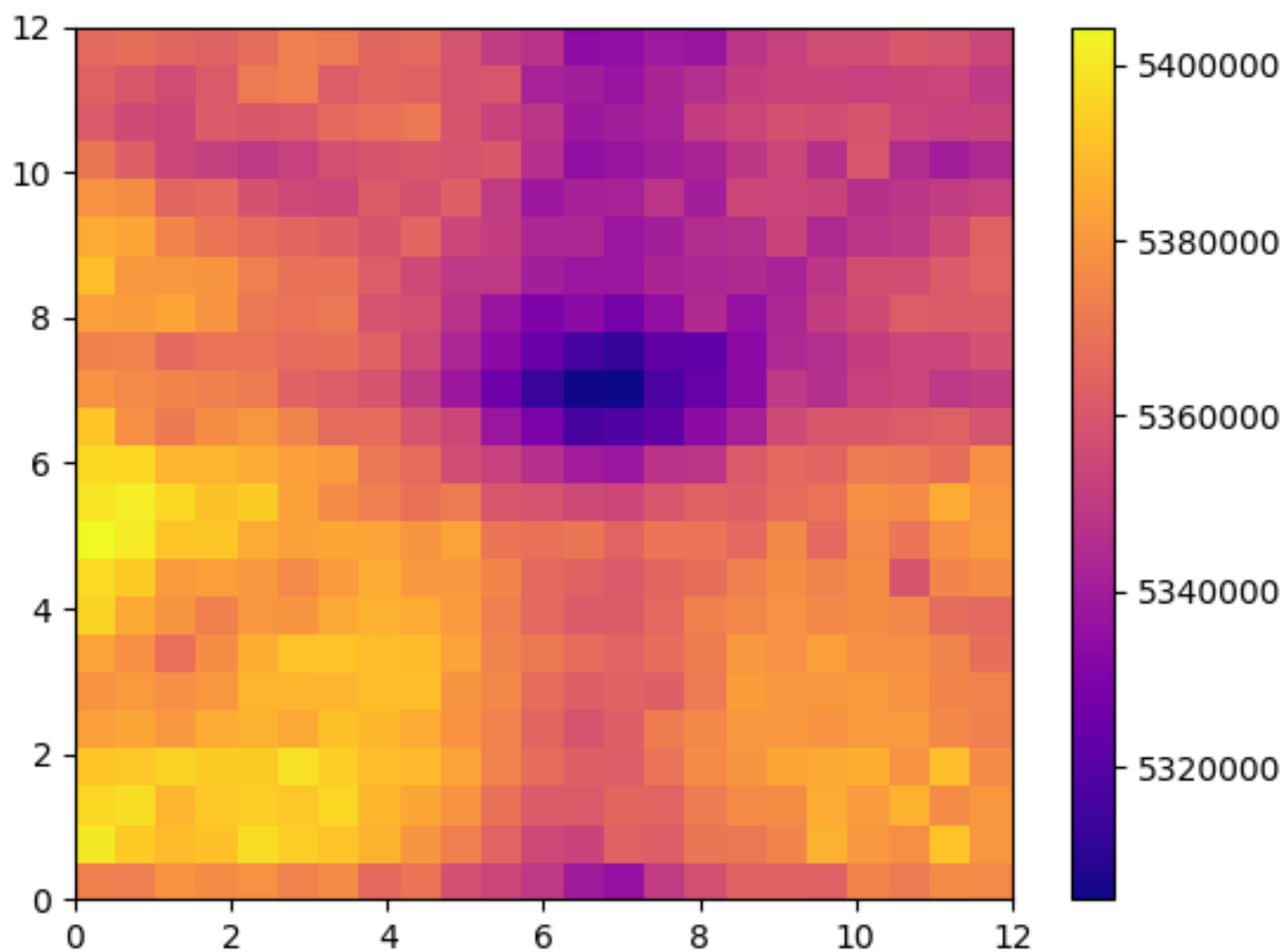
Carte experimentale 1



Carte experimentale 1 - Smooth



Carte automatisee



La suite

Approfondissements :

- **Modele microscopique**
- **Influence du champ transverse**
- **Stucture hyper-fine**

Applications :

- **Mesure de la concentration de NV**
- **Magnetometrie**